

## KMgF<sub>3</sub>:Ce<sup>3+</sup>, Eu<sup>2+</sup>的溶剂热合成与光谱性质

朱国贤<sup>\*1,2,3</sup> 连洪州<sup>3</sup> 李永大<sup>1</sup> 王兴权<sup>1</sup> 石春山<sup>3</sup>

(<sup>1</sup>长春理工大学理学院,长春 130022)

(<sup>2</sup>湛江师范学院化学科学与技术学院,湛江 524048)

(<sup>3</sup>中国科学院稀土化学与物理重点实验室,长春 130022)

**摘要:**采用溶剂热法合成了Eu<sup>2+</sup>, Ce<sup>3+</sup>单掺和双掺KMgF<sub>3</sub>。分析了样品的结构与形貌。结果表明,所合成的样品均为单相,颗粒粒度分布集中。测定了它们的激发和发射光谱,结果显示:在单掺Eu<sup>2+</sup>的KMgF<sub>3</sub>中,没有观察到位于420 nm附近由微量氧色心引起的宽带发射,只发现峰值位于360 nm附近的锐峰线发射,说明溶剂热合成的KMgF<sub>3</sub>:Eu中氧含量极低;在KMgF<sub>3</sub>双掺体系中由于Eu<sup>2+</sup>和Ce<sup>3+</sup>竞争吸收激发能,Eu<sup>2+</sup>把能量传递给Ce<sup>3+</sup>,存在Eu<sup>2+</sup>→Ce<sup>3+</sup>能量传递过程,观察到Ce<sup>3+</sup>的较强的发射带和Eu<sup>2+</sup>的较弱的线发射,并讨论了能量传递机理。

**关键词:**溶剂热;稀土离子;KMgF<sub>3</sub>;光谱;能量传递

中图分类号:O614.113; O614.22; O614.3

文献标识码:A

文章编号:1001-4861(2008)11-1822-05

## Solvothermal Synthesis and Fluorescence of KMgF<sub>3</sub>:Ce<sup>3+</sup>, Eu<sup>2+</sup>

ZHU Guo-Xian<sup>\*1,2,3</sup> LIAN Hong-Zhou<sup>3</sup> LI Yong-Da<sup>1</sup> WANG Xing-Quan<sup>1</sup> SHI Chun-Shan<sup>3</sup>

(<sup>1</sup>College of Science, Changchun University of Science and Technology, Changchun 130022)

(<sup>2</sup>School of Chemistry Science and Technology, Zhanjiang Normal College, Zhanjiang, Guangdong 524048)

(<sup>3</sup>Key Laboratory of Rare Earth Chemistry and Physics, Chinese Academy of Science, Changchun 130022)

**Abstract:** Phosphors of KMgF<sub>3</sub> single-doped and co-doped with Ce<sup>3+</sup> and/or Eu<sup>2+</sup> were synthesized respectively through solvothermal method at 180 °C and characterized by means of X-ray powder diffraction (XRD) and environment scanning electron microscopy (ESEM). The excitation and emission spectra of the rare earth ions doped KMgF<sub>3</sub> through solvothermal process was also studied. In the KMgF<sub>3</sub>:Eu<sup>2+</sup> sample, there was only one sharp line emission located at 360 nm arising from f-f( $^6P_{7/2} \rightarrow ^8S_{7/2}$ ) transition of Eu<sup>2+</sup> in the host lattice and the broad bands appearing at 420 nm arising from Eu<sup>2+</sup>←O could not be observed. The results showed that the oxygen content was low. In the system of KMgF<sub>3</sub> co-doped with Ce<sup>3+</sup> and Eu<sup>2+</sup>, the strong emission band of the Ce<sup>3+</sup> could be observed due to the competitive absorption of the exciting energy between the Eu<sup>2+</sup> and Ce<sup>3+</sup>, while the emission peak of the Eu<sup>2+</sup> could only be observed due to energy transfer from Ce<sup>3+</sup> to Eu<sup>2+</sup> appearing in the KMgF<sub>3</sub>:Eu<sup>2+</sup>, Ce<sup>3+</sup> polycrystalline powder prepared by solid state reaction at a high temperature. In addition, the mechanism of energy transfer was discussed.

**Key words:** solvothermal synthesis; rare earth ion; KMgF<sub>3</sub>; photoluminescence; energy transfer

氟化镁钾晶体(KMgF<sub>3</sub>)属典型立方钙钛矿型复合氟化物,空间群为O<sub>h</sub><sup>1</sup>(Pm3m),其晶体场较弱,声子能量低,光子通道区域宽,非辐射跃迁几率小,掺杂

某些过渡金属离子可实现激光运转<sup>[1]</sup>,其晶体色心已实现可调谐激光输出<sup>[2]</sup>,故被认为是理想的固体激光基质材料。更为重要的是KMgF<sub>3</sub>晶体具有良好

收稿日期:2008-05-26。收修改稿日期:2008-07-01。

国家自然科学基金(No.50702057)资助项目。

\*通讯联系人。E-mail:zhugxian@163.com; Tel:0759-3183372; 13692369319

第一作者:朱国贤,43岁,讲师,在职博士生;研究方向:稀土固体化学与新材料。

的光学均匀性和各向同性,能带隙值大,容易实现各种不同价态离子的掺杂,是研究稀土离子光谱性质的合适基质材料<sup>[3]</sup>。

二价铕的基态构型为[Xe]4f<sup>7</sup>,其光学跃迁主要包括宇称允许的电偶极 4f<sup>6</sup>5d→4f<sup>7</sup> 跃迁宽带发射与和宇称禁阻的构型内 4f<sup>7</sup>→4f<sup>7</sup> 跃迁线状发射。Eu<sup>2+</sup>在 KMgF<sub>3</sub> 晶体中的发射光谱属 f-f 跃迁线状发射,发射峰位于 360 nm 附近,是探找短波可见固体激光材料的重要研究对象<sup>[4,5]</sup>。关于 KMgF<sub>3</sub>:Eu<sup>2+</sup>中 Eu<sup>2+</sup>的 f-f(360 nm)受激发射的光谱特性研究,国内外已有较多报道<sup>[6-8]</sup>。

三价铈的电子结构为[Xe]4f<sup>1</sup>,只有一个 4f 电子,一般呈现为电偶极允许的 d→f 跃迁,其发射光谱呈现宽谱带,由于受基质晶场的影响较大,发光颜色可从紫色到红色,具有较宽的能量分布,因而 Ce<sup>3+</sup>常被用作一些稀土发光离子的敏化剂<sup>[9,10]</sup>。有关 Ce<sup>3+</sup>→Eu<sup>2+</sup>之间能量传递的研究已有许多报道<sup>[11-13]</sup>。

复合氟化物一般通过传统的高温固相反应法来合成<sup>[11]</sup>,所需设备复杂,反应条件苛刻,并且难以避免氧杂质的生成。而基质的纯度,特别是氧杂质的含量直接影响材料的发光性质。因此寻求一种适宜的合成方法,对复合氟化物发光材料的应用与研究具有重要的意义。目前溶剂热反应已成为简便、有效合成纯度较高的复合氟化物的方法<sup>[14,15]</sup>,为稀土发光材料的广泛应用展现了新的前景。本工作采用溶剂热方法分别制备了 Eu<sup>2+</sup>或 Ce<sup>3+</sup>单掺和双掺的 KMgF<sub>3</sub>,考察了它们的光谱性质,获得了一些新的实验结果。

## 1 实验部分

氟化钾(KF·2H<sub>2</sub>O),氟化镁(MgF<sub>2</sub>)均为分析纯试剂,EuF<sub>3</sub> 和 CeF<sub>3</sub> 的纯度为 99.99%。分别称取 0.941 3 g KF·2H<sub>2</sub>O (0.01 mol), 0.623 0 g MgF<sub>2</sub> (0.01 mol), 0.041 8 g EuF<sub>3</sub>(0.000 2 mol), 置于玛瑙研钵中,混匀,研细后,放入 20 mL 聚四氟乙烯为衬套的不锈钢反应釜中,加入乙二醇至填充度为 80%。拧紧釜盖,在烘箱中于 180 ℃晶化 7 d,冷却至室温取出,过滤,用无水乙醇(5×10 mL)洗涤,于空气中自然干燥,即得 KMgF<sub>3</sub>:2mol% Eu<sup>2+</sup>白色粉末。用同样方法合成了 KMgF<sub>3</sub>:Ce<sup>3+</sup> 和 KMgF<sub>3</sub>:Ce<sup>3+</sup>,Eu<sup>2+</sup>。

(1) 用日本 Rigaku D/max II B 型 X 射线衍射仪(XRD) 测量样品的晶体结构,辐射源 Cu K $\alpha_1$ ( $\lambda=0.154\text{06 nm}$ ),扫描速度为  $4.0^\circ \cdot \text{min}^{-1}$ ,步长  $0.02^\circ$ ,扫

描范围  $2\theta=10^\circ\sim100^\circ$ , 硅为内标; 用日本 Hitachi S-570 环境扫描电子显微镜(ESEM)观察样品的形貌和粒径大小; 用日立 Hitachi F-4500 荧光光谱仪测试样品的激发和发射光谱。

## 2 结果与讨论

### 2.1 产物的结构与形貌表征

图 1 是溶剂热合成的 KMgF<sub>3</sub>:Ce<sup>3+</sup>,Eu<sup>2+</sup>的 X 射线粉末衍射图。结晶学数据与 PDF18-1033 的 KMgF<sub>3</sub> 标准卡一致,表明制备出的 KMgF<sub>3</sub>:Ce<sup>3+</sup>,Eu<sup>2+</sup>为单相,属典型的立方钙钛矿型结构。KMgF<sub>3</sub>:Ce<sup>3+</sup>和 KMgF<sub>3</sub>:Eu<sup>2+</sup>的 X 射线粉末衍射图与图 1 相同,表明掺杂少量稀土离子对产物结构无明显影响。图 2 是溶剂热合成的 KMgF<sub>3</sub>:Ce<sup>3+</sup>,Eu<sup>2+</sup>于室温下的环境扫描电子显微镜照片(ESEM 图),从图 2 中可以看出,产物外形为规则立方体且颗粒分布均匀,颗粒大小约为  $5.1\text{ }\mu\text{m}$ ,说明在溶剂热条件下反应物浓度分布均匀,得到结晶良好的纯净产物。

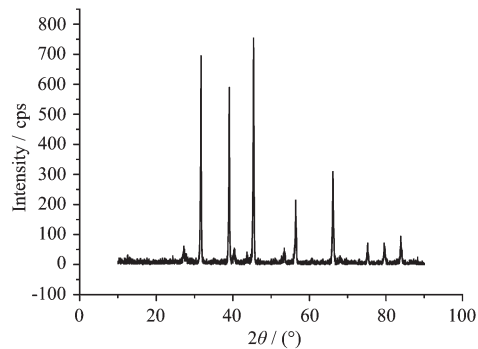


图 1 KMgF<sub>3</sub>:Ce<sup>3+</sup>,Eu<sup>2+</sup>的 XRD 图

Fig.1 XRD pattern of KMgF<sub>3</sub>:Ce<sup>3+</sup>,Eu<sup>2+</sup>

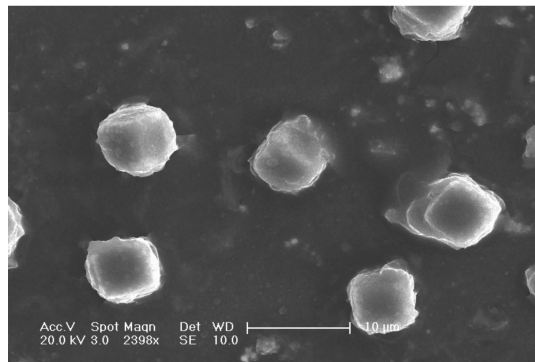


图 2 KMgF<sub>3</sub>:Ce<sup>3+</sup>,Eu<sup>2+</sup>的 ESEM 像

Fig.2 ESEM image of KMgF<sub>3</sub>:Ce<sup>3+</sup>,Eu<sup>2+</sup>

### 2.2 KMgF<sub>3</sub>:Ce<sup>3+</sup>的激发光谱和发射光谱

图 3 示出 KMgF<sub>3</sub>:2mol%Ce<sup>3+</sup>的激发光谱(306 nm 监测),从图中可见有一位于 200~280 nm 激发带,最

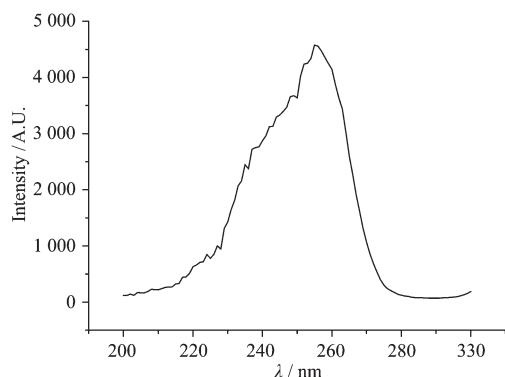


图3 KMgF<sub>3</sub>:2mol%Ce<sup>3+</sup>的激发光谱( $\lambda_{\text{em}}=306 \text{ nm}$ )  
Fig.3 Excitation spectrum of KMgF<sub>3</sub>:2mol%Ce<sup>3+</sup>  
( $\lambda_{\text{em}}=306 \text{ nm}$ )

大峰值位于255 nm,归属于Ce<sup>3+</sup>的基态 $^2F_{5/2} \rightarrow d$ 能级的跃迁。

图4为KMgF<sub>3</sub>:2mol%Ce<sup>3+</sup>在255 nm激发下的发射光谱。在280~374 nm有一宽带,最大峰值位于306 nm,归属于Ce<sup>3+</sup>的 $d \rightarrow f$ 跃迁。由于Ce<sup>3+</sup>发射的Stockes位移较小,约1529 nm,使Ce<sup>3+</sup>的激发光谱和发射光谱均出现在紫外区,故它能将能量有效地传递给其他稀土离子而起敏化作用。

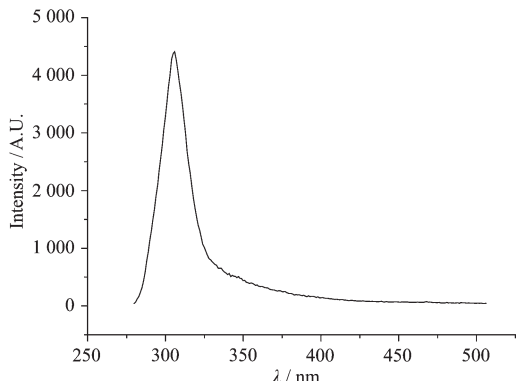


图4 KMgF<sub>3</sub>:2mol%Ce<sup>3+</sup>的发射光谱( $\lambda_{\text{exc}}=255 \text{ nm}$ )  
Fig.4 Emission spectrum of KMgF<sub>3</sub>:2mol%Ce<sup>3+</sup>  
( $\lambda_{\text{exc}}=255 \text{ nm}$ )

### 2.3 KMgF<sub>3</sub>:Eu<sup>2+</sup>的激发光谱和发射光谱

图5示出KMgF<sub>3</sub>:2mol%Eu<sup>2+</sup>的激发光谱(360 nm监测),从图中可见有一位于225~300 nm激发带,最大峰值位于250 nm。

图6为KMgF<sub>3</sub>:2mol%Eu<sup>2+</sup>在250 nm激发下的发射光谱。由图可见,发射光谱峰值位于360 nm附近,锐峰线状发射归属于Eu<sup>2+</sup>占据基质晶格中K<sup>+</sup>格位后产生的 $^6P_{7/2} \rightarrow ^8S_{7/2}$ 跃迁。根据文献<sup>[4]</sup>报道,在KMgF<sub>3</sub>:Eu的单晶中,位于420 nm附近有一位于微量氧色心引起的宽带发射,而在溶剂热合成的KMgF<sub>3</sub>:

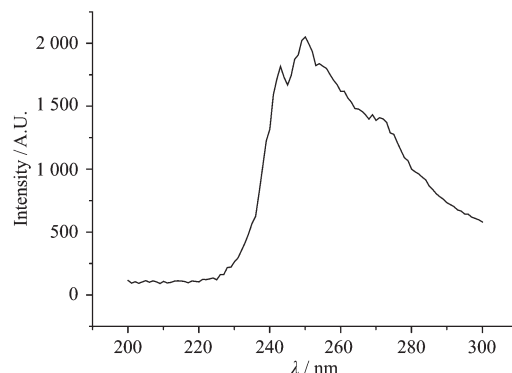


图5 KMgF<sub>3</sub>:2mol%Eu<sup>2+</sup>的激发光谱( $\lambda_{\text{em}}=360 \text{ nm}$ )  
Fig.5 Excitation spectrum of KMgF<sub>3</sub>:2mol%Eu<sup>2+</sup>  
( $\lambda_{\text{em}}=360 \text{ nm}$ )

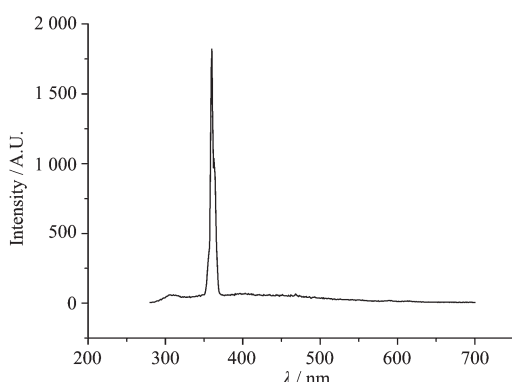


图6 KMgF<sub>3</sub>:2mol%Eu<sup>2+</sup>的发射光谱( $\lambda_{\text{exc}}=250 \text{ nm}$ )  
Fig.6 Emission spectrum of KMgF<sub>3</sub>:2mol%Eu<sup>2+</sup>  
( $\lambda_{\text{exc}}=250 \text{ nm}$ )

Eu的发射光谱中则没有观察到这一宽带发射,这说明溶剂热合成的KMgF<sub>3</sub>:Eu中氧含量可能更低。

### 2.4 KMgF<sub>3</sub>:Eu<sup>2+</sup>,Ce<sup>3+</sup>的光谱特征分析

从图3,图5可知,单掺Ce<sup>3+</sup>或Eu<sup>2+</sup>的KMgF<sub>3</sub>的激发带明显重叠,最大峰值均位于250 nm左右。从图4和图6可以看出,250 nm激发下,Eu<sup>2+</sup>的360 nm线状发射应重叠在Ce<sup>3+</sup>发射带的长波一侧。即在Eu<sup>2+</sup>和Ce<sup>3+</sup>双掺体系中,两者发射会具有“协同”作用。而由图3,图5的激发带强度又可明显看出,双掺体系Eu<sup>2+</sup>和Ce<sup>3+</sup>对激发能的竞争吸收,Ce<sup>3+</sup>占有优势。因此双掺体系的“协同发射”会促使Ce<sup>3+</sup>的发射强度得到更大增强。图7给出的KMgF<sub>3</sub>:2mol%Ce<sup>3+</sup>,2mol%Eu<sup>2+</sup>发射光谱证明了这一点,可观察到Ce<sup>3+</sup>较强的宽带发射和Eu<sup>2+</sup>较弱的线发射(360 nm),Eu<sup>2+</sup>把能量传递给Ce<sup>3+</sup>,使Ce<sup>3+</sup>的发射强度明显增强,存在Eu<sup>2+</sup>→Ce<sup>3+</sup>能量传递过程,这与文献<sup>[16]</sup>的高温固相法实验结果相反。在高温固相法合成的Eu,Ce双掺KMgF<sub>3</sub>体系中,Ce<sup>3+</sup>把能量传递给Eu<sup>2+</sup>,使Eu<sup>2+</sup>的发射

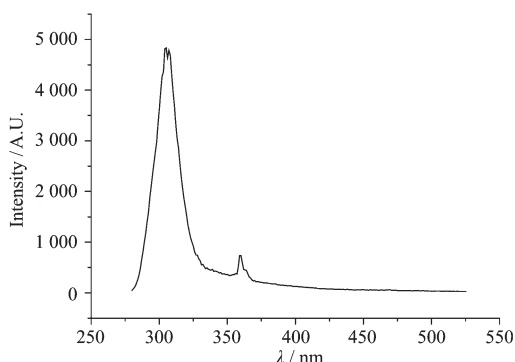


图 7  $\text{KMgF}_3:2\text{mol}\%\text{Ce}^{3+}, 2\text{mol}\%\text{Eu}^{2+}$  的发射光谱  
( $\lambda_{\text{exc}}=255 \text{ nm}$ )

Fig.7 Emission spectrum of  $\text{KMgF}_3:2\text{mol}\%\text{Ce}^{3+}, 2\text{mol}\%\text{Eu}^{2+}$  ( $\lambda_{\text{exc}}=255 \text{ nm}$ )

强度明显增强, 存在  $\text{Ce}^{3+} \rightarrow \text{Eu}^{2+}$  能量传递过程。

## 2.5 $\text{Eu}^{2+}$ 对 $\text{Ce}^{3+}$ 能量传递过程

在  $\text{Ce}^{3+}, \text{Eu}^{2+}$  单掺  $\text{KMgF}_3$  体系中,  $\text{Ce}^{3+}$  和  $\text{Eu}^{2+}$  均取代  $\text{K}^+$  离子的格位, 过剩的电荷均由  $\text{K}^+$  离子空位补偿。在  $\text{Ce}^{3+}-\text{Eu}^{2+}$  共掺  $\text{KMgF}_3$  体系中, 由于  $\text{Eu}^{2+}$  的离子半径(0.112 nm)比  $\text{Ce}^{3+}$ (0.103 nm)更接近  $\text{K}^+$  的离子半径(0.133 nm), 而且  $\text{Eu}^{2+}$  的电荷较低, 电荷补偿只需一个阳离子空位, 因而  $\text{Eu}^{2+}$  将优先进入八面体空间格位, 而且迅速达到饱和。对于  $\text{Ce}^{3+}$ , 由于受  $\text{Eu}^{2+}$  空位的微扰, 唯一可能的取代格位是  $C_{4v}$ (图 8 点 A), 使得  $\text{Ce}^{3+}$  取代的格位与  $\text{Eu}^{2+}$  取代的格位处在相邻位置, 在体系中形成紧密近邻  $\text{Ce}^{3+}-\text{Eu}^{2+}$  离子对<sup>[7]</sup>, Calidino 等<sup>[17]</sup>发现在  $\text{CaF}_2:\text{Eu}-\text{Ce}$  体系中也存在近邻的  $\text{Ce}^{3+}-\text{Eu}^{2+}$  离子对。这使  $d-d$  能级之间的相互能量交换过程更容易进行, 进而使  $\text{Eu}^{2+}$  到  $\text{Ce}^{3+}$  的能量

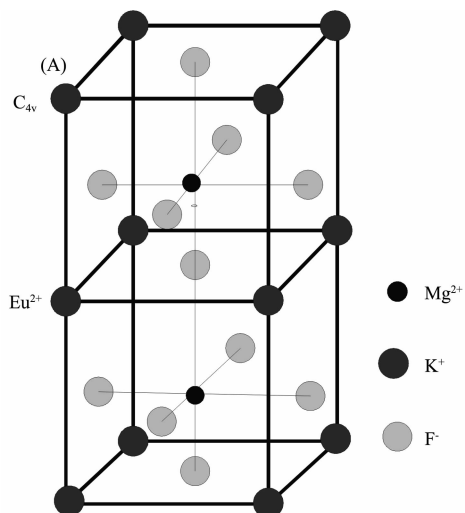


图 8  $\text{KMgF}_3$  晶体结构

Fig.8 Crystal Structure of  $\text{KMgF}_3$

传递发生。实际上, 不管是高温固相法合成的  $\text{KMgF}_3:\text{Eu}, \text{Ce}$ , 还是溶剂热法合成的  $\text{KMgF}_3:\text{Eu}, \text{Ce}$ , 都存在  $\text{Ce}^{3+} \rightarrow \text{Eu}^{2+}$  和  $\text{Eu}^{2+} \rightarrow \text{Ce}^{3+}$  两种能量传递过程。前者因为  $\text{Ce}^{3+}$  的发射谱带与  $\text{Eu}^{2+}$  的激发谱带重叠较多, 符合 Dexter 能量传递理论条件, 使  $\text{Ce}^{3+}$  将能量传递  $\text{Eu}^{2+}$ , 所以  $\text{Ce}^{3+} \rightarrow \text{Eu}^{2+}$  能量传递过程占优势, 而后者是由于体系中存在近邻  $\text{Ce}^{3+}-\text{Eu}^{2+}$  离子对,  $\text{Eu}^{2+}$  的振子强度大, 其吸收与发射强度都比  $\text{Ce}^{3+}$  大, 离子间  $d-d$  相互作用较强使  $\text{Eu}^{2+}$  将能量传递  $\text{Ce}^{3+}$ , 同时  $\text{Ce}^{3+}$  的发射谱带与  $\text{Eu}^{2+}$  的激发谱带重叠很小, 所以  $\text{Eu}^{2+} \rightarrow \text{Ce}^{3+}$  能量传递过程占优势。因此, 在溶剂热法合成的  $\text{KMgF}_3:\text{Eu}, \text{Ce}$  双掺体系中,  $\text{Eu}^{2+} \rightarrow \text{Ce}^{3+}$  之间的能量传递是由  $\text{Eu}^{2+}$  和  $\text{Ce}^{3+}$  之间的  $d-d$  相互作用引起。

## 3 结 论

采用溶剂热法合成了  $\text{Ce}^{3+}$  或  $\text{Eu}^{2+}$  单掺和共掺  $\text{KMgF}_3$ 。XRD 研究结果表明产物为单相, ESEM 观察表明  $\text{KMgF}_3:\text{Ce}^{3+}, \text{Eu}^{2+}$  颗粒分布比较均匀。讨论了  $\text{Ce}^{3+}$  或  $\text{Eu}^{2+}$  单掺和双掺  $\text{KMgF}_3$  体系的光谱性质, 在单掺  $\text{Eu}^{2+}$  的  $\text{KMgF}_3$  中, 发射光谱只发现峰值位于 360 nm 附近的锐峰线发射, 没有观察到位于 420 nm 附近由微量氧色心引起的宽带发射, 这说明了溶剂热合成的  $\text{KMgF}_3:\text{Eu}$  中氧含量极低。在高温固相法合成的  $\text{KMgF}_3:\text{Eu}^{2+}, \text{Ce}^{3+}$  多晶体系中, 由于存在  $\text{Ce}^{3+} \rightarrow \text{Eu}^{2+}$  能量传递过程, 在发射光谱中只能观察到  $\text{Eu}^{2+}$  的线状发射。而用溶剂热法合成的  $\text{KMgF}_3$  双掺体系中由于  $\text{Eu}^{2+}$  和  $\text{Ce}^{3+}$  竞争吸收激发能,  $\text{Eu}^{2+}$  把能量传递给  $\text{Ce}^{3+}$ , 使  $\text{Ce}^{3+}$  的发射强度明显增强,  $\text{Eu}^{2+} \rightarrow \text{Ce}^{3+}$  之间的能量传递过程是由  $\text{Eu}^{2+}$  和  $\text{Ce}^{3+}$  之间的  $d-d$  相互作用引起。

## 参 考 文 献:

- [1] Johnson L F, Guggenheim H J, Bahnck D, et al. *Optics Letters*, **1983**, *8*(7):371~373
- [2] Shkadarevich A P, Dubinskii M A, Nikanovich M V, et al. *Opt. Commun.*, **1986**, *57*(6):400~402
- [3] Hagenmuller P. *Inorganic Solid Fluoride Chemistry and Physics*. New York: Academy press Inc, **1985**:477~487
- [4] Su H Q, Jia Z H, Shi C S. *Chem. Mater.*, **2002**, *14*:310~312
- [5] MO Feng-Shan(莫凤珊), ZHU Guo-Xian(朱国贤), SHI Chun-Shan(石春山), et al. *Spectroscopy and Spectral Analysis (Guanpu Xue Gu Guanpu Fenxi)*, **2007**, *27*(1):12~14
- [6] Hoffman M V. *J. Electrochem. Soc.*, **1971**, *118*(6):933~937

- [7] SU Hai-Quan(苏海全), JIA Zhi-Hong(贾志宏), SHI Chun-Shan(石春山). *Chem. J. Chinese Universities (Gaodeng Xuexiao Huaxue Xuebao)*, **2001**,**22**(7):1081~1085
- [8] SU Hai-Quan(苏海全), JIA Zhi-Hong(贾志宏), SHI Chun-Shan(石春山). *Chem. J. Chinese Universities (Gaodeng Xuexiao Huaxue Xuebao)*, **2001**,**22**(10):1620~1624
- [9] WU Gen-Hua(吴根华), CHEN Rong(陈荣), ZHANG Qi-Yu(张启运). *Spectroscopy and Spectral Analysis (Guanpu Xue Gu Guanpu Fenxi)*, **2000**,**20**(4):560~562
- [10] ZHU Guo-Xian(朱国贤), LI Yong-Da(李永大), SHI Chun-Shan(石春山), et al. *Spectroscopy and Spectral Analysis (Guanpu Xue Gu Guanpu Fenxi)*, **2008**,**28**(3):553~537
- [11] Tan Y, Shi C. *J. Phys. Chem. Solids*, **1999**,**60**:1805~1810
- [12] ZHANG Xian-Ming(张献明), SU Hai-Quan(苏海全), SHI Chun-Shan(石春山), et al. *Chem. J. Chinese Universities (Gaodeng Xuexiao Huaxue Xuebao)*, **1999**,**20**(9):1334~1337
- [13] ZHANG Xian-Ming(张献明), SU Hai-Quan(苏海全), YE Ze-Ren(叶泽人), et al. *Chem. J. Chinese Universities (Gaodeng Xuexiao Huaxue Xuebao)*, **2001**,**22**(3):358~361
- [14] HUA R N, JIA Z H, SHI C S, et al. *Mater. Res. Bull.*, **2002**, **37**:1189~1195
- [15] HUA R N, LEI B F, SHI C S, et al. *J. Solid State Chem.*, **2003**, **175**:284~288
- [16] ZHU Guo-Xian(朱国贤), MO Feng-Shan(莫凤珊), SHI Chun-Shan(石春山), et al. *Chem. J. Chinese Universities (Gaodeng Xuexiao Huaxue Xuebao)*, **2006**,**27**(3):401~405
- [17] Caldino U G, Gruz C, Munoz H G, et al. *Solid State Commun.*, **1989**,**69**(4):347~351